

05.4

© 1992

НЕЛИНЕЙНОСТЬ ВАХ ВТСП $YBa_2Cu_3O_{7-x}$,
ОПРЕДЕЛЕННАЯ С ПОМОЩЬЮ МОДУЛЯЦИОННОЙ МЕТОДИКИ

М.А. В а с ю т и н, Н.Д. К у з ь м и ч е в

Хорошо известно, что ВТСП обладают рядом нетрадиционных особенностей сверхпроводящего состояния. Такими, как нелинейность вольт-амперных характеристик (ВАХ), механизм которых недостаточно изучен [1-5].

В настоящей работе приведены исследования нелинейности ВАХ образцов керамики и монокристаллов ВТСП $YBa_2Cu_3O_{7-x}$. Исследования выполнены четырехконтактной модуляционной методикой при температурах T вблизи температуры сверхпроводящего перехода T_c для $T \leq T_c$.

Образцы керамики, приготовленные по известной технологии (см., например, [4]), представляли собой диски толщиной 2 мм и радиусом 5 мм. Контакты для керамики были получены „вжиганием“ в образец серебра [6] и последующим нанесением индия. Сопротивление контактов составляло < 3 мОм. Образцы имели $T_c \approx 91.5$ К с шириной перехода $\delta T_c \approx 1.1$ К.

Исследуемый монокристалл имел размеры $1 \times 1 \times 0.03$ мм³. Сопротивление индивидуальных контактов равнялось ≈ 2 Ом, $T_c \approx 91.2$ К и $\delta T_c \approx 1$ К.

Для изучения ВАХ с помощью модуляционной методики через токовые контакты образцов одновременно пропускались переменный с амплитудой J_N ($J_N = 26$ мА, частотой $f = 1$ кГц) и постоянной J_- ($0 \leq J_- \leq 40$ мА) токи с помощью разделительного фильтра. В области нелинейности ВАХ на потенциальных контактах наблюдались гармоники напряжения $U(t)$, t – время. При исследовании высших гармоник (с номерами $n > 1$) напряжение первой гармоники U_{1f} подавлялось режекторным фильтром.

Результаты измерений для керамики приведены на рис. 1. Из рисунка видно, что зависимости $U_{1f}(T)$ (кривые 1, а и 1, б) для $J_- = 0$ и $J_- = 40$ мА различаются в температурной области начала перехода. В этой же области при $J_- = 0$ появляются напряжения нечетных гармоник U_{nf} (см. рис. 1, кривая 2), U_{5f} и U_{7f} . Зависимости $U_{5f}(T)$ и $U_{7f}(T)$ на рисунке не приведены т. к. они имеют вид, подобный $U_{3f}(T)$, за исключением того, что с ростом номера гармоники величина ее максимума резко убывает. Напряжение более высоких гармоник практически не наблюдалось.

Напряжение четных гармоник (U_{2f} , U_{4f}) наблюдалось только при $J_- \neq 0$. Отметим, что все зависимости $U_{nf}(T)$ ($n = 2, 3, 4, 5, 7$) одинаковы по форме и расположению максимума при $T = T^*$. Гар-

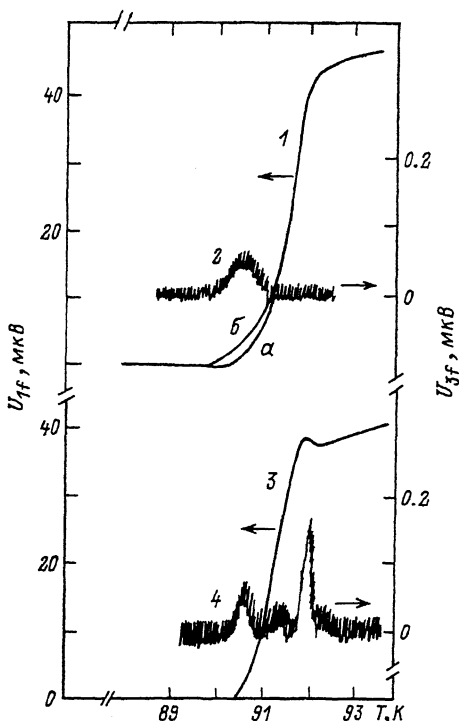


Рис. 1. Температурные зависимости гармоник напряжения U_{1f} (T) (кривые: 1, а, б – керамика; 3 – монокристалл) и U_{3f} (T) (2 – керамика, 4 – монокристалл). Кривые 1, а; 2; 3 и 4 – для тока $J_- = 0$; 1, б – для $J_- = 40$ мА. Во всех случаях $J_\sim = 26$ мА, частота $f = 1$ кГц.

моники возникают лишь в области начала резистивного перехода и различаются только по величине максимума.

Монокристаллы исследовались при $J_- = 0$. Четные гармоники отсутствовали, как и в керамике. На наблюдаемых зависимостях U_{1f} , U_{3f} , U_{5f} и U_{7f} видны ярко выраженные „пики“. Зависимости U_{1f} (кривая 3) и U_{3f} (кривая 4) приведены на рис. 1. Отчетливые „пики“ в U_{1f} (T) имеются при температурах $T_1^* \approx 90.8$ К и $T_3^* \approx 92.2$ К, и есть слабый максимум при $T_2^* \approx 91.6$ К. С ростом номера гармоники амплитуды максимумов убывают (при T_3^* быстрее, чем при T_1^*), и в U_{7f} наблюдается лишь первый.

На рис. 2 приведены зависимости амплитуд максимумов 2-й и с 3-й гармоник напряжения керамики для $T = T^*$. Из рисунка видно, что с увеличением тока J_- до 20 мА амплитуда второй гармоники U_{2f} (J_-) растет, а затем наблюдается плавный спад. Амплитуда U_{3f} (J_-) плавно уменьшается до 0 для $J_- \approx 15$ мА, а затем снова растет по величине и при 30 мА практически исчезает.

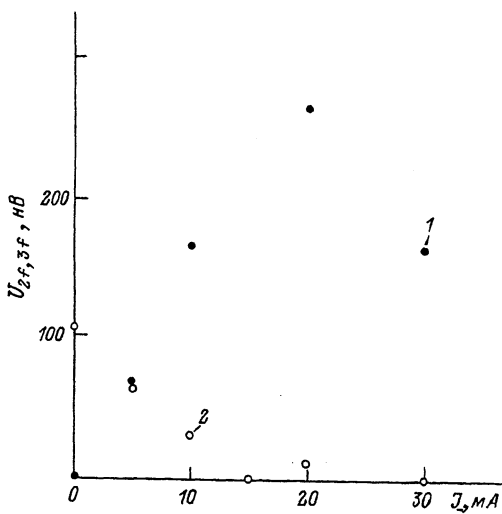


Рис. 2. Зависимости амплитуд второй U_{2f} и третьей U_{3f} гармоник напряжения для керамики $YBa_2Cu_3O_{7-x}$ от величины постоянного тока J_- при температуре $T^*=90.54$ К (максимум и $U_{nf}(T)$). Амплитуда тока $J_\sim=26$ мА, а частота $f=1$ кГц. 1 - $U_{2f}(J_-)$; 2 - $U_{3f}(J_-)$.

Для обработки экспериментальных данных использовался модуляционный метод определения зависимости $\mathcal{U}=\mathcal{U}(J)$. Мы брали разложение функции с модулированным аргументом в ряд Тейлора-Фурье по переменной составляющей аргумента, в общем виде полученное в работе [7]. В нашем случае модулированным аргументом является ток $J=J_-+J_\sim \sin \omega t$, ($\omega=2\pi f$), где J_- - постоянная составляющая, а J_\sim - амплитуда переменной составляющей тока. Амплитуды напряжений гармоник имеют вид

$$U_{nf}(T)=2A_n \sum_{m=0}^{\infty} \frac{1}{m!(m+n)!} \left(\frac{J_\sim}{2}\right)^{2m+n} U^{(2m+n)}(J_-, T), \quad (1)$$

где $n=1, 2, 3, \dots$ - номер гармоники; $|A|=1$, для четных $n=2$ К, $A_1=(-1)^k$, для $n=2k-1$, $A_{2k-1}=(-1)^{k-1}$, $k=1, 2, \dots$, $U^{(k)}(J_-, T)$ - частная производная порядка k по J от $U(J, T)$, взятая при $J=J_-$.

Для определение нелинейной части $U_n(J, T)$ зависимости $U(J, T)$ обрабатывались экспериментальные данные керамики.

Ввиду того, что функции $U_{nf}(T)$ имеют одинаковый вид, переменные J и T можно разделить, т. е. $U_n(J, T)=U_T \cdot U_J$.

Найденная температурная зависимость (см. рис. 1, кривая 2) хорошо описывается выражением:

$$U_T = \exp \left[-\left(\frac{T-T^*}{\delta T} \right)^2 \right], \quad (2)$$

где $T^* = (90.54 \pm 0.05)$ К и $\delta T = (0.45 \pm 0.05)$ К.

Зависимость U_J можно качественно описать, используя следующие соображения. Отсутствие четных гармоник в $U(t)$ при $J=0$ указывают на нечетность, т. е. $U(J) = -U(-J)$. Значит, все четные производные $\frac{\partial^{2m}U}{\partial J^{2m}}$ при $J=0$ равны нулю. Кроме того, ввиду быстрого уменьшения амплитуды гармоники с ростом ее номера (U_{Jf} едва заметная), можно сделать вывод, что основной вклад в U_{2f} и U_{3f} дают $\frac{\partial^2 U}{\partial J^2}$ и $\frac{\partial^3 U}{\partial J^3}$ соответственно (1). Из выше-сказанного и рис. 2 следует, что только для малых токов зависимость U_J можно аппроксимировать степенной нечетной функцией $U_J \propto J^3$. Для токов, превышающих несколько миллиампер, зависимость имеет более сложный характер, которую нужно аппроксимировать знакопеременным рядом Тейлора.

Ранее в работах [8] использовалась зависимость $U_J \propto J \exp \left[-\left(\frac{J}{J_0} \right)^2 \right]$, приводящая к достаточно хорошему качественному согласию, но значительно расходящаяся в количественном отношении. В ряде работ [1, 2, 4] для объяснения нелинейности ВАХ использовалась степенная зависимость $U \propto J^n(T)$ (n увеличивается от 1 до 7 и выше с изменением температуры). Для объяснения результатов авторы использовали различные модификации модели Костерлица-Таулеса. В нашем случае использование очень чувствительной к форме кривой $U(J)$ модуляционной методики для исследования нелинейности ВАХ ВТСП показало, что степенной характер имеется лишь при очень малых точках. Поэтому используемые в литературе разновидности модели Костерлица-Таулеса для объяснения нелинейности ВАХ $YBa_2Cu_3O_{7-x}$ для больших токов являются сомнительными.

Рассматриваются и другие механизмы нелинейности ВАХ ВТСП [5, 9]. Например, когерентный межгранулярный переход, обусловленный слабой связью, в рамках модели работы [5] приводит также к степенному закону $U(J)$.

В заключение отметим, что для объяснения найденного в настоящей работе не степенного характера $U(J)$ требуется новый подход к проблеме фазового перехода в гранулированных и неоднородных системах ВТСП.

Выражаем благодарность И.Н. Макаренко (ИК РАН) за представление монокристаллов, А.И. Головашкину и Г.Ф. Жаркову (ФИ РАН) за обсуждение.

Список литературы

- [1] Артеменко С.Н., Горловая И.Г., Латышев Ю.И. // Письма в ЖТФ. 1989. Т. 49. В. 10. С. 566–569.
- [2] Stamp P.C.E., Forrero L., Ayache S. // Phys. Rev. B. 1988. V. 38. N 4. P. 2847–2850.
- [3] Budhani R.C., Welch D.O., Saenga M. et al. // Phys. Rev. Lett. 1990. V. 64. N 14. P. 1666–1669.
- [4] Dubson M.A., Silverberg S.T., Culabrese J.J. et al. // Phys. Rev. Lett. 1988. V. 60. N 11. P. 1061–1064.
- [5] Rosenblatt J., Rabotina A., Reyal P. et al. // Revue Phys. Appl. 1990. V. 25. N 1. P. 73–78.
- [6] Бесергенев В.Г. и др. // Письма в ЖТФ. 1989. Т. 15. В. 9. С. 37–40.
- [7] Кузьмичев Н.Д. // Письма в ЖТФ. 1991. Т. 17. В. 7. С. 56–60.
- [8] Васютин М.А., Кузьмичев Н.Д. XXIX совещ. по физике низких температур. Ч. 1. Казань, 1992. Тез. докл. С. 102.
- [9] Мазов Л.С. Тез. докл. XXIX совещание по физике низких температур. Ч. 1. Казань, 1992. С. 144.

Мордовский государственный
университет, Саранск

Поступило в Редакцию
23 января 1992 г.
В окончательной ре-
дакции 17 июля 1992 г.